

I-200 傾斜平板のうす励振について

九州大学応用力学研究所 正会員 中村泰治

1. 内容と目的

矩形あるいはH型断面柱等の曲りあるいはねじりうす励振を調べてみると、断面比と迎角の特別な組合せでは、物体背面に明瞭なうす励振が観測され、なお、励振が生じない場合も時として経験する。こうことを調べるために、傾斜平板の曲りおよびねじりうす励振について風洞実験を行なった。傾斜平板は、fore body および after body とともに平面であり、したがってうす励振においては、はく離翼の振動の影響が支配的であり、他の部分の振動の影響が小さいと考えられる。ただし、実験の結果、励振力が他の物体に比べてきわめて小さく、うす励振をする場合でも励振風速域の非常に狭いこともわかった。実験はつきの2つである。(1) 曲りうす励振——流れに直角に振動する平板につき、平均迎角を $\alpha = 90^\circ \sim 20^\circ$ までかえて実験を行なう。この場合、2つのはく離翼の流れ方向の相対位置がかかることに特徴がある。(2) ねじりうす励振—— 90° 平板につき、ねじり軸位置を平板中心線に沿って前後に移動させ、軸位置のうす励振における影響を調べる。この場合は、2つのはく離翼の流れ方向に同一位置にあるモード、その振動モードが軸位置により異なることに特徴がある。

2. 実験装置

風洞の測定部寸法は、3m(高さ) × 0.7m(幅) × 2m(長さ) である。模型の支持には、平行板はねとコイルはね(曲げの実験)、または十字板はねとコイルはね(ねじりの実験)が併用された。平行あるいは十字板はねは運動拘束に利用され、系の剛性はコイルはねにより調整された。供試模型、諸元を表1に示す。模型の変位検出は、それより平行および十字板はねに貼ったストレインゲージにより、また、うす励振の測定は、後流の適当な位置におかれた熱線プローブによつた。

	Bending	Torsion
弦長 h	30 cm	15 cm
スパン l	65.5 cm	65.5 cm
端板後 D	50 cm	50 cm
振動数 f_0	4.15 Hz	3.38 -- 4.50 Hz
減衰率 δ_0	0.012	0.010 -- 0.012
$(2m/\rho h^2 l)\delta_0$	0.64	0.49 -- 1.66
$(21/\rho h^4 l)\delta_0$		

Table 1

3. 実験結果とその考察

図1にストローハル数と迎角の関係を示す。後流の速度変動は、 $\alpha = 90^\circ \sim 40^\circ$ の範囲で主として規則正しく、 $\alpha = 30^\circ \sim 20^\circ$ の範囲において若干規則性が損なわれるものの、なお、うすの存在は明瞭であった。(図2) 模型寸法が風洞測定部の高さに比べて大きいので風洞壁干渉が無視されず、たとえば、 $\alpha = 90^\circ$ におけるストローハル数、測定値は既往の実験値 $S = 0.145$ に比べて若干大きい。(ねじりの実験では、こうことを考慮して模型弦長を 15 cm にえた。) 振動実験においては、 $\alpha = 90^\circ \sim 50^\circ$ の範囲で典型的なうす励振が認められ、限界風速の近傍で、振動振幅は次第に増大して安定化リミットサイクルに達した。(左にし、右へ場合、振動は自然に発生せず、微小加振を行なって始めて発散振動を呈した。) $\alpha = 45^\circ \sim 40^\circ$ の範囲では、限界風速近傍の周辺的な小振動がみられたものの、 $\alpha = 90^\circ \sim 50^\circ$ やうしたような典型的な発散振動は観測されなかつた。 $\alpha = 30^\circ \sim 20^\circ$ の範囲では、振動は限界風速近傍で、しかもも強め減衰を示した。図3は限界風速近傍における振動、最大(片)振幅の変化を示す。図4はオシログラフの代表例である。

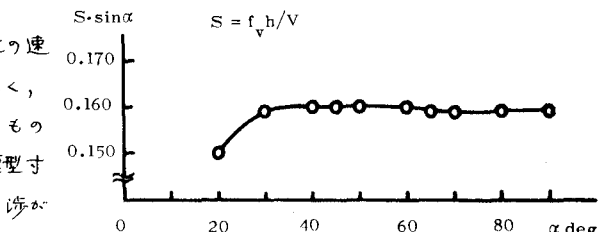
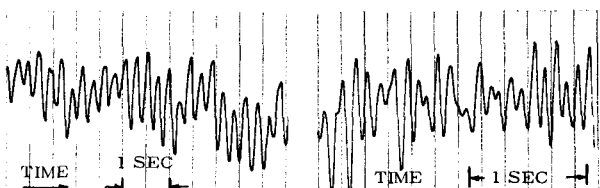


Fig. 1



(a) $\alpha = 80^\circ$, $V = 8.00 \text{ m/s}$ (b) $\alpha = 30^\circ$, $V = 6.98 \text{ m/s}$

Fig. 2

90°平板の挾み軸位置を下流側より上流側に移動させ、図3と同様にうず励振の最大(片)振幅の変化を求めたものが図5である。図5に明らかなように、軸位置の影響はきわめて大きい。 $X/h \geq 0$ (下流側)では自然に発散し安定なリミット・サイクルに達する励振が観測されたが、 $X/h \leq -0.25$ では周期的小振動のみが得られた。なお、軸位置が無限下流であるは無限上流に移動すれば、平板の振動は並進運動に一致するなどに注意しなさい。すなはち、曲げの実験結果より、軸位置が充分上流側に移動すれば再び典型的なうず励振が出現するであろう。

Abernathy & Kronauer (J.F.M., 13, 1962, 1)によれば、2列のshear layerの安定性は、擾乱の位相が大きくなるほど影響をあたす。通常、うず励振における2つのはく離翼は、antisymmetricな振動を行なってなる。いま、流れ方向に同一位置にあるはく離翼は、任意の位相とも振動を仮想するとき、こゝのようなはく離翼の振動、とくにその位相がうず励振に大きい影響をあたすことは想像に難くない。きわめて単純であるが、はく離翼の流れ方向の位置が異なるは、同様な効果を期待できる。(図6)また、軸位置とはく離翼の振動モードを図示すれば図7a, bのようになる。図7a, bのパターンは、Abernathy & Kronauerの線型解析における減衰および発散モードに似て、3つとは意味深い。冒頭に述べた矩形断面柱等では、平板と異なり、after bodyの振動の影響が必ずしも無視せられ得ないであろう。平板に衝突する上記の簡単な考察がどの程度、矩形断面柱等に適用できるか、目下検討中である。

ついでに、本実験は、応用力学研究助成公募、清田武人および九州大学大学院学生江村康博の3君の協力によつたことを記し、謝意を表す。

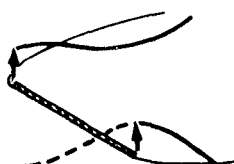
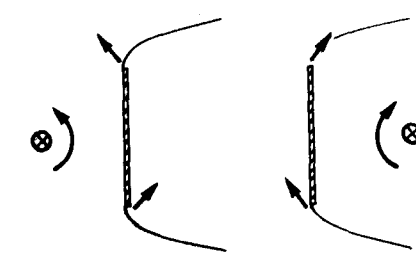


Fig. 6



(a) Stable

(b) Unstable

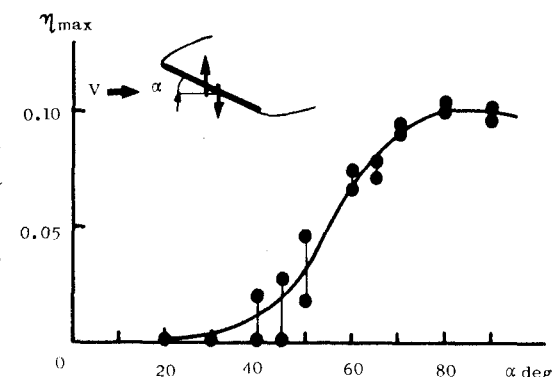
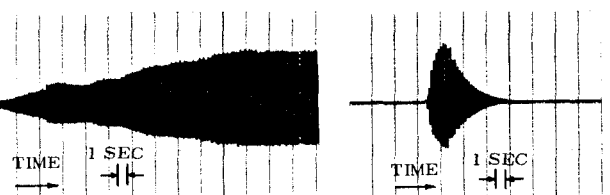


Fig. 3



(a) $\alpha = 80$ deg, $V = 7.58$ m/s (b) $\alpha = 30$ deg, $V = 4.11$ m/s

Fig. 4

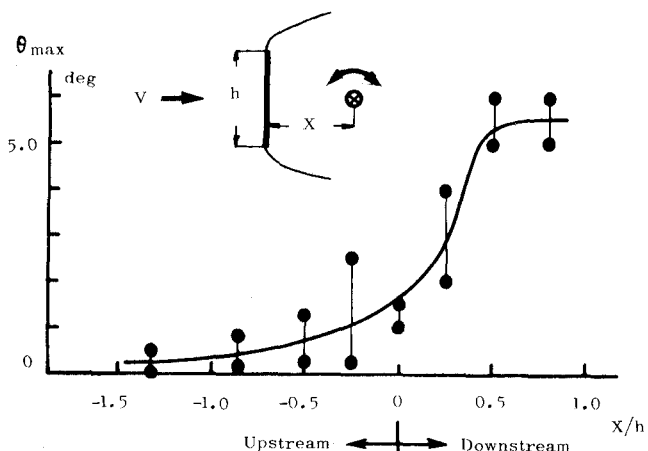


Fig. 5